

تاریخ دریافت: ۱۳۹۲/۱۲/۲۴

تاریخ پذیرش: ۱۳۹۳/۲/۲۱

نشریه شبیلات، مجله منابع طبیعی ایران
دوره ۶۸، شماره ۱، بهار ۱۳۹۴

ص ۲۷-۳۹

نحوه توزیع جیوه در بافت‌های مختلف ماهی شانک زرد باله

خور موسی، خلیج فارس (*Acanthopagrus latus*)

- ❖ صدیقه بابادی*: کارشناس ارشد آلدگی دریا، گروه بیولوژی دریا، دانشکده علوم دریایی و اقیانوسی، دانشگاه علوم و فنون دریایی خرمشهر، ایران
- ❖ علیرضا صفاهیه: استادیار گروه زیست‌شناسی دریا، دانشکده علوم دریایی و اقیانوسی، دانشگاه علوم و فنون دریایی خرمشهر، ایران
- ❖ سید محمد باقر نبوی: استادیار گروه زیست‌شناسی دریا، دانشکده علوم دریایی و اقیانوسی، دانشگاه علوم و فنون دریایی خرمشهر، ایران
- ❖ کمال غانمی: استادیار گروه شیمی دریا، دانشکده علوم دریایی و اقیانوسی، دانشگاه علوم و فنون دریایی خرمشهر، ایران
- ❖ محمد تقی رونق: استادیار گروه زیست‌شناسی دریا، دانشکده علوم دریایی و اقیانوسی، دانشگاه علوم و فنون دریایی خرمشهر، ایران

چکیده

در این مطالعه غلظت جیوه در بافت‌های مختلف ماهی شانک زرد باله (*Acanthopagrus latus*) صیدشده از پنج یک از خوریات خور موسی (زنگی، جعفری، پتروشیمی، غزاله و مجیدیه) اندازه‌گیری شد. نمونه‌های بافتی در اسید هضم و با استفاده از روش جذب اتمی ارزیابی شدند. به طور کلی الگوی پراکنش جیوه در خوریات مورد مطالعه به شکل مجیدیه ≈ غزاله > پتروشیمی ≈ جعفری > زنگی بود. مشاهده بیشترین غلظت جیوه در خورهای مجیدیه و غزاله را می‌توان ناشی از قرارگیری این دو خور در بخش انتهایی خور موسی، تبدلات کمتر با آبهای آزاد، انتقال آلاینده‌ها از طریق جریان جزر و مدنی، وجود اسکله صادرات نفت و ریزش‌های نفتی، و احتمالاً وجود بستر مناسب برای متیلاسیون بیشتر جیوه بیان کرد. محاسبه نسبت عضله به کبد نیز نشان داد که فقط وضعیت خور زنگی به شرایط ثابت محیطی نزدیک است. در نهایت الگوی تجمع جیوه در بافت‌های ماهی شانک زرد باله به صورت کبد > عضله > پوست ≈ استخوان ≈ باله ≈ فلس بود و نشان می‌داد که تجمع بالای جیوه در بافت‌های کبد و عضله رخ می‌دهد که دلیل آن گستردگی بالای رگ‌های خونی، درصد بالای آب، و خصوصیات بیوشیمیایی و عملکردی این بافت‌هاست. همچنین، مشاهده شد که با افزایش بار آلدگی در خوریات، تفاضل میان میزان جیوه تجمع یافته در بافت‌های کبد و عضله بیشتر شد.

واژگان کلیدی: جیوه، شانک زرد باله، آلدگی، شاخص عضله/کبد، نسبت کبد/عضله.

Mason *et al.*, 1995; Braeckman *et al.*, 1998). بدین ترتیب فرم متیل جیوه که بسیار سمی‌تر است به سرعت جذب بدن می‌شود و از آنجا که سرعت جذب آن نسبت به نرخ دفع بسیار بالاست در بدن موجودات زنده تجمع می‌یابد (Laarman, *et al.*, 1975; De Pinho *et al.*, 2002). به همین دلیل، انجام برنامه‌های پایش برای آگاهی از غلظت جیوه و نحوه توزیع آن در محیط و نیز بدن موجودات زنده امری ضروری است.

عموماً برنامه‌های پایش بر اساس شاخص‌های زیستی صورت می‌گیرد و انتخاب گونه مناسب به منزله شاخص زیستی از اهمیت ویژه‌ای برخوردار است، زیرا هر شاخص زیستی دارای امتیازات ویژه‌ای است که آن را از سایر گونه‌های شاخص متمایز می‌کند (Zhou *et al.*, 2008). در میان انواع گونه‌های شاخص اکوسیستم‌های آبی برای پایش آلودگی فلزات سنگین، ماهی‌ها به علت اشغال‌کردن سطوح بالایی زنجیره‌های غذایی، داشتن عمرهای طولانی و اندازه‌های بزرگ، قادر به تجمع مقادیر بالایی از جیوه‌اند (Burger *et al.*, 2002; Tawari-Fufeyin & Burger, 2007; Ekaye, 2007; Mieiro *et al.*, 2009) خصوصیات مثبت دیگری نیز دارند (از قبیل فراوانی، تنوع بالا، پراکنش گسترده و سهولت نمونه‌برداری) که باعث شده توجه بسیاری از محققان را، به منزله شاخص زیستی مناسبی برای مطالعه آلاندده‌ها، به خود جلب کنند (Karadede-Akin & Ünlü, 2007; Zhou *et al.*, 2008) علاوه بر این، مطالعه ماهیان هم از نظر اکولوژیکی و هم از نظر سلامت عمومی حائز اهمیت است (Cid *et al.*, 2001; Mieiro *et al.*, 2009).

بنابراین، این مطالعه برای تعیین غلظت جیوه

۱. مقدمه

خور موسی یکی از مهم‌ترین آبراهه‌های طبیعی در استان خوزستان است که به علت وجود صنایع مهمی نظیر پتروشیمی و فعالیت‌های کشتیرانی در این منطقه، نقطه‌ای استراتژیک برای اقتصاد استان و کشور محسوب می‌شود، اما متأسفانه به دلیل نبود توجه کافی به وضعیت زیست‌محیطی آن، این خور در سال‌های اخیر به شدت تحت تأثیر تخلیه پساب‌های صنعتی، کشاورزی و خانگی قرار گرفته است. مطالعات پیشین در این منطقه حاکی از آلودگی خور موسی به جیوه بوده و منبع آن تخلیه پساب واحد کلرآلکالی پتروشیمی معرفی شده است (Assar, 2009; Dehghan Madiseh *et al.*, 2009; Haghigat, 2009).

کارخانه‌ها کلرآلکالی جیوه معدنی را به منزله پسماند وارد محیط‌های آبی می‌کنند. جیوه معدنی حلالیت کمی در آب دارد و به سرعت در رسوبات تنه‌نشین می‌شود (Arribére *et al.*, 2003). پس از ورود جیوه به اکوسیستم‌های آبی، برخی میکروارگانیسم‌های احیاکننده سولفات نظیر باکتری‌ها و قارچ‌ها می‌توانند آن را در ستون آب و رسوبات Boeing, 2000; Boening, 2000) از طریق فرایند انتشار هر دو فرم جیوه را جذب می‌کنند. متیل جیوه به علت میل ترکیبی زیاد با چربی‌ها به راحتی از غشای سلولی عبور می‌کند و وارد سیتوپلاسم می‌شود و پس از اتصال به مولکول‌های حاوی سولفیدریل از قبیل پروتئین‌ها و آمینواسیدها در فاز آبی سلول جایه‌جا می‌شود. جیوه معدنی نیز اساساً به غشای سلول متصل می‌شود. در سطوح بالاتر نیز فقط مواد سیتوپلاسمی محلول را شکارچیان هضم می‌کنند و

خلیج فارس واقع شده است. طول این خور از دهانه تا بندر امام خمینی در حدود ۶۰ کیلومتر و عرض دهانه آن در خلیج فارس ۳۳ کیلومتر است. تعداد زیادی خور کوچک از خور موسی منشعب می‌شوند که بیشتر در بخش غربی آن واقع شده‌اند. این مطالعه در آبان ۱۳۸۸ در پنج یک از خورهای منشعب شده از این کانال آبی به نام‌های زنگی، جعفری، پتروشیمی، غزاله و مجیدیه انجام گرفت (شکل ۱) و از هر خور تعداد ۱۰ قطعه ماهی با قلاب صید شد.

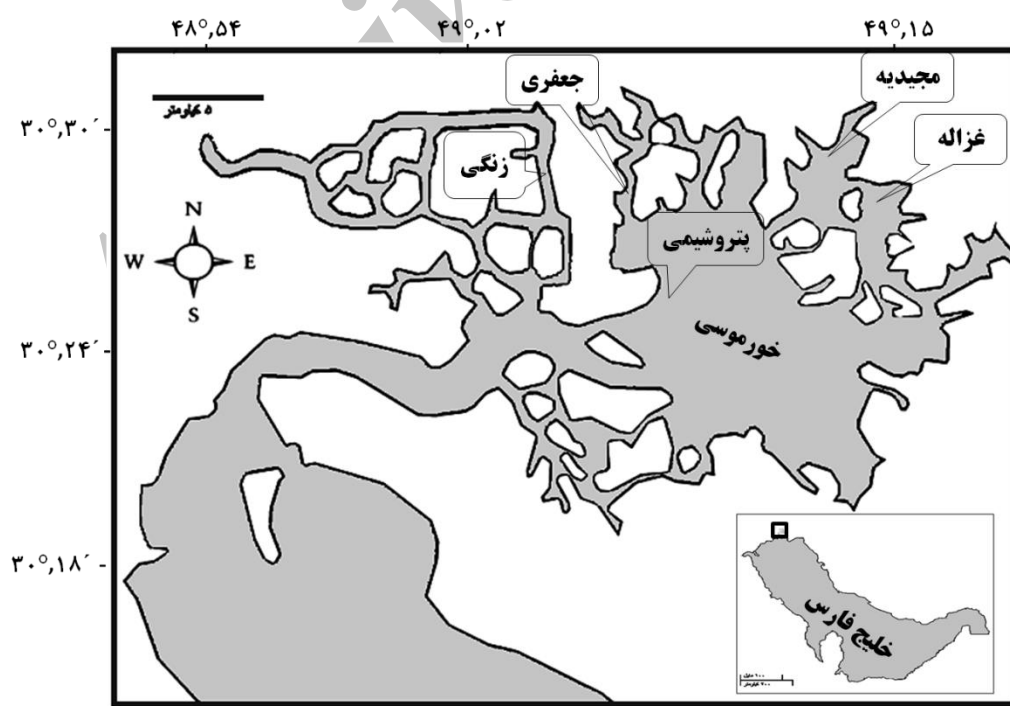
ماهیان صیدشده در کیسه‌های پلاستیکی مجزا قرار داده شدند و درون یخدان حاوی یخ به آزمایشگاه منتقل شدند. در آزمایشگاه طول و وزن ماهی‌ها اندازه‌گیری شد. سپس سطح بدن آن‌ها با آب مقطر شسته شد و تا زمان آنالیز در فریزر -20°C نگهداری شد.

در بافت‌های مختلف ماهی شانک زرد باله (*Acanthopagrus latus*) انجام شد که یکی از گونه‌های ارزشمند تجاری در ایران و سایر کشورهای منطقه خلیج فارس است. برخلاف بررسی‌های پیشین که عموماً بر تجمع جیوه در بافت‌های عضله و کبد متتمرکز شده است، پژوهش حاضر با مطالعه بافت‌های بیشتر (فلس، باله، استخوان، پوست، عضله و کبد) قصد ارائه اطلاعاتی جامع‌تر را در این زمینه دارد. این نتایج علاوه بر روشن کردن شدت آلودگی منطقه، می‌تواند به پیش‌بینی توزیع فیزیولوژیکی جیوه در بدن ماهی، همچنین شناسایی بافت‌ها و اندام‌های هدف در مواجهه با آلودگی جیوه کمک کند.

۲. مواد و روش‌ها

۱.۰۲. منطقه مورد مطالعه و عملیات نمونه‌برداری

خور موسی اکوسیستم آبی نیمه‌بسته‌ای است که به صورت آبراهه‌ای مشتمل شکل در منتهی‌الیه شمال غربی



شکل ۱. نقشه منطقه مورد مطالعه

کلرید (حل شده در هیدروکلریک اسید غلیظ به نسبت ۱:۱) افزوده شد و غلظت جیوه با استفاده از دستگاه جذب اتمی Unicam مدل ۹۱۹ و تکنیک بخار سرد اندازه‌گیری شد (MOOPAM, 1999).

۳.۰.۲ پردازش داده‌ها

آنالیزهای آماری مطالعه حاضر با نرم‌افزار SPSS 11.5 انجام شد. نرم‌البودن داده‌ها با استفاده از آزمون Shapiro-Wilk بررسی شد. برای مقایسه غلظت جیوه بافت‌های مختلف و نیز خوریات مورد مطالعه از آزمون آنالیز واریانس یک‌طرفه و برای تفکیک گروه‌های دارای اختلاف از پس آزمون توکی استفاده شد. سطح معنی‌داری ۰/۰۵ در نظر گرفته شد.

۳. نتایج

۳.۱. نتایج زیست‌سنجدگی ماهی‌ها و محاسبه محتوای آب بافت‌ها

نتایج زیست‌سنجدگی ماهیان صیدشده از خوریات مورد مطالعه در جدول ۱ ارائه شده است. این نشان می‌دهد طول و وزن کل ماهی‌ها به ترتیب در محدوده ۲۱۰-۱۹/۴ سانتی‌متر و ۱۸۰/۱-۱۵۰/۵ گرم قرار داشت. طول ($P=0/37$)، $P=0/12$ ، $F_{4,5}=0/85$ ، $F_{4,5}=0/85$ ، ماهیان در خوریات مورد مطالعه اختلاف معناداری را نشان نداد.

۴.۰.۲ هضم نمونه‌ها

به منظور هضم و آنالیز بافت‌های ماهی شانک، ابتدا نمونه‌ها از فریزر خارج شدند. ماهی‌ها در حالی که هنوز یخ آن‌ها ذوب نشده بود، تشریح شدند و بافت‌های مختلف آن‌ها شامل فلس، باله، استخوان، پوست، عضله و کبد جداسازی شد. نمونه‌های جداسازی شده به مدت ۲۴ ساعت در دستگاه خشک‌کننده انجام خشک شدند و درصد آب بافت‌ها محاسبه شد. سپس بافت‌های خشک شده به کمک هاون چینی به شکل پودر همگن درآمدند. به منظور هضم نمونه‌ها، ۱ گرم از هر نمونه خشک شده و همگن شده به همراه ۴۵ میلی‌گرم وانادیوم پتا اکسید و ۵ میلی‌لیتر نیتریک اسید غلیظ درون لوله‌های هضم ریخته شد. پس از پوشاندن درب لوله‌ها، نمونه‌ها یک ساعت در دمای اتاق و ۳ ساعت در دمای ۹۰ °C روی دستگاه هضم قرار داده شدند. پس از سردشدن نمونه‌های هضم شده، ۰/۵ میلی‌لیتر محلول ۱۰ درصد پتاسیم دی‌کرومات به آن‌ها افزوده شد. سپس نمونه‌ها از کاغذ صافی عبور داده شدند و به حجم ۲۵ میلی‌لیتر رسانده شدند. به موازات آماده‌سازی هر دسته از نمونه‌ها برای هضم، ۳ نمونه شاهد نیز در همان شرایط و با همان نسبت اسید و آب مقطر تهیه شد. در نهایت به منظور تبدیل جیوه کاتیونی به جیوه فلزی، به هر یک از نمونه‌ها ۱۰ میلی‌لیتر محلول ۲۰ درصد قلع

جدول ۱. خصوصیات زیست‌سنجدگی ماهیان صیدشده از خوریات مختلف

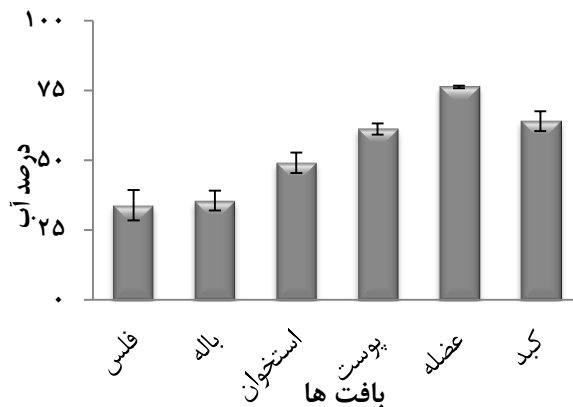
طول (سانتی‌متر)	میانگین	زنگی	جهفری	پتروشیمی	غزاله	مجیدیه
	میانگین	۱۹/۴	۱۹/۹	۲۰/۴	۲۱/۰	۲۰/۴
انحراف معیار	۱/۷	۱/۵	۱/۵	۱/۵	۱/۸	۱/۰
وزن (گرم)	میانگین	۱۵۰/۵	۱۵۸/۸	۱۷۲/۸	۱۸۰/۱	۱۷۵/۳
انحراف معیار	۲۰/۴	۲۸/۱	۲۲/۶	۲۰/۴	۱۹/۸	۳۵/۶

کمترین و بیشترین غلظت جیوه را در باله نشان دادند (شکل ۳ ب). مقدار جیوه تجمع یافته در استخوان ماهیان شانک صیدشده از خورهای یادشده به ترتیب $1/46$, $1/40$, $1/40$, $0/79$, $1/40$ و $1/41$ میکروگرم بر گرم وزن خشک اندازه‌گیری شد (شکل ۳ ج). مقدار این فلز در پوست به ترتیب $0/60$, $0/94$, $1/03$, $1/35$ و $1/52$ میکروگرم بر گرم وزن خشک بود (شکل ۳ د). بافت عضله نیز به ترتیب $1/65$, $1/51$, $2/59$, $2/50$ و $3/10$ میکروگرم بر گرم وزن خشک جیوه را در خورهای مورد مطالعه نشان داد (شکل ۳ ه). کمترین غلظت یافت شده در بافت‌های استخوان، پوست و عضله نیز در خور زنگی و بیشترین آنها در خورهای غزاله و مجیدیه مشاهده شد. در نهایت غلظت جیوه تجمع یافته در کبد ماهیان خورهای یادشده به ترتیب $4/13$, $19/81$, $18/32$, $19/52$ و $20/42$ میکروگرم بر گرم وزن خشک به دست آمد که در این میان خورهای زنگی و مجیدیه به ترتیب دارای کمترین و بیشترین غلظت بودند (شکل ۳).

۳.۰.۳ مقایسه تجمع جیوه در بافت‌های مختلف ماهی شانک

بررسی مقدار جیوه تجمع یافته در بافت‌های مورد بررسی در خورهای زنگی ($P=0/00$, $F_{4,45}=72/08$), مجیدیه ($P=0/00$, $F_{4,45}=2122/25$), پتروشیمی ($P=0/00$, $F_{4,45}=3223/96$), غزاله ($P=0/00$, $F_{4,45}=505/05$) و مجیدیه ($P=0/00$, $F_{4,45}=3265/73$) اختلاف معنی‌داری را نشان داد. غلظت جیوه در ماهیان صیدشده از خور زنگی بیانگر نبود اختلاف معنی‌دار میان فلس، باله، استخوان و پوست است و کمترین میزان جیوه را نشان می‌داد.

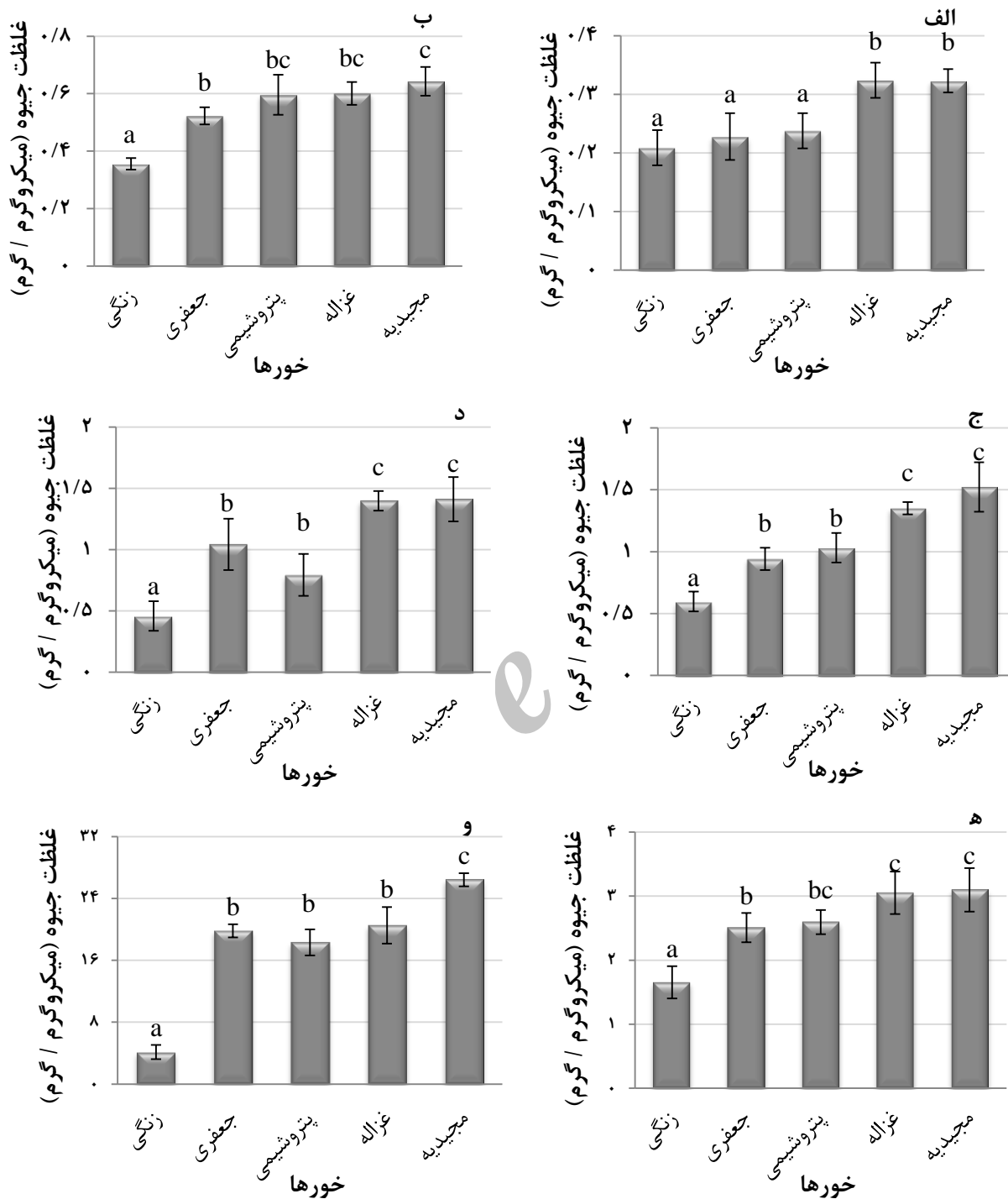
محاسبه محتوای آب بافت‌های مختلف نشان می‌دهد که فلس، باله، استخوان، پوست، عضله و کبد به ترتیب دارای $34/35$, $49/61$, $76/62$ درصد آب است (شکل ۲).



شکل ۲. میانگین ($\pm SD$) درصد آب بافت‌های مختلف

۲.۰.۳. غلظت جیوه در خوریات موسی

نتایج اندازه‌گیری غلظت جیوه نشان داد که مقدار جیوه بافت‌های فلس ($P=0/00$, $F_{4,45}=15/42$), باله ($P=0/00$, $F_{4,45}=32/28$), استخوان ($P=0/00$, $F_{4,45}=31/93$), پوست ($P=0/00$, $F_{4,45}=45/61$), عضله ($P=0/00$, $F_{4,45}=22/28$) و کبد ($P=0/00$, $F_{4,45}=156/91$) در خوریات مختلف دارای اختلاف معنی‌داری است (شکل ۳). میزان جیوه در فلس ماهیان صیدشده از خورهای زنگی، مجفری، پتروشیمی، غزاله و مجیدیه به ترتیب $0/21$, $0/23$, $0/24$, $0/32$ و $0/32$ میکروگرم بر گرم وزن خشک به دست آمد. در میان خورهای نامبرده، اختلاف میان زنگی، مجفری و پتروشیمی معنادار نبود. غزاله و مجیدیه نیز تفاوت معنی‌داری را نشان ندادند و نسبت به سایر خورهای حاوی غلظت‌های بالاتری بودند (شکل ۳ الف). محتوی جیوه در باله ماهیان خورهای نامبرده به ترتیب $0/52$, $0/36$, $0/60$ و $0/64$ میکروگرم بر گرم وزن خشک بود. ماهیان صیدشده از خور زنگی و مجیدیه به ترتیب



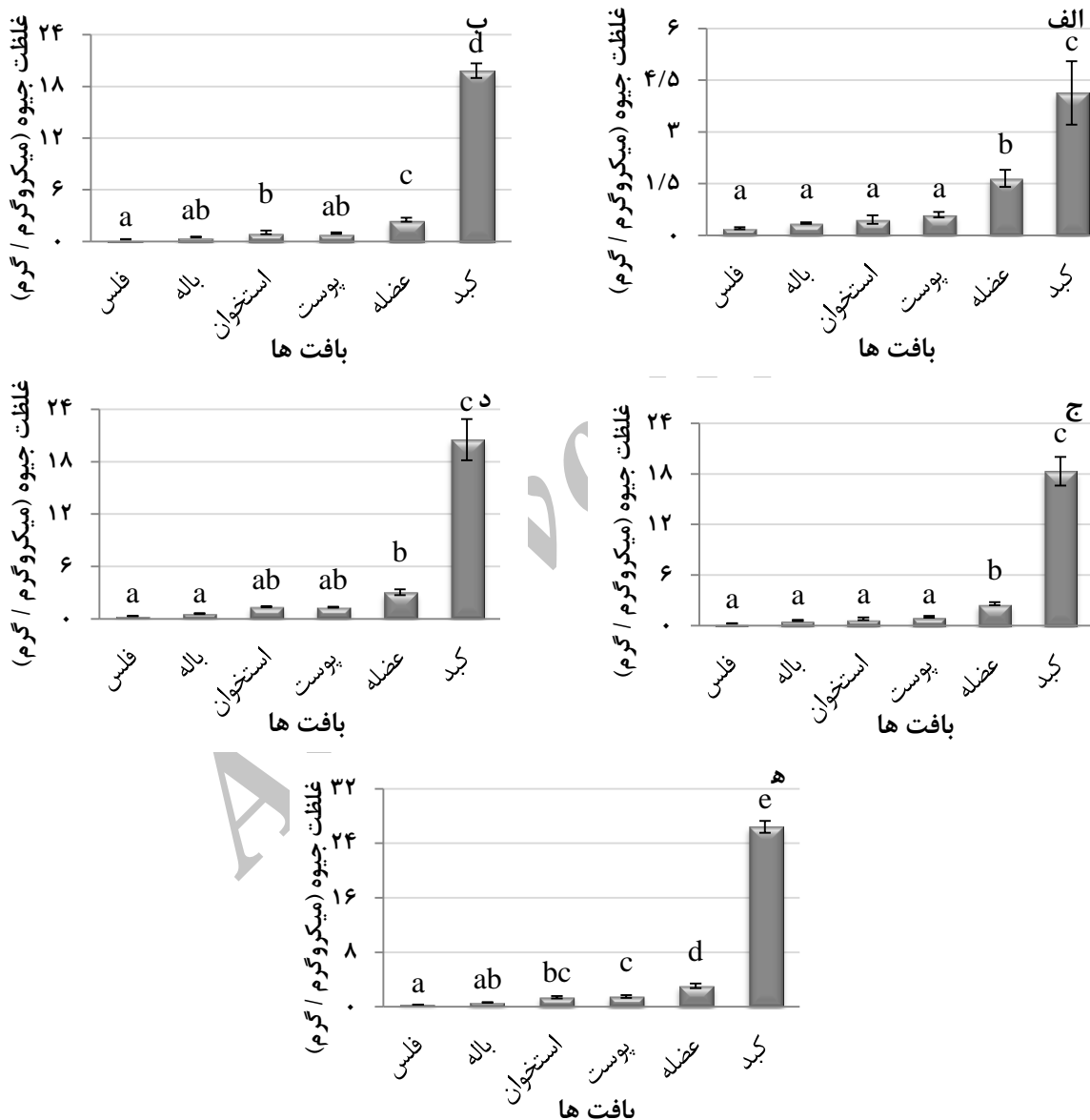
شکل ۳. میانگین ($\pm SD$) تجمع جیوه در هر یک از بافت‌های ماهیان خوریات موسی (الف) فلس، (ب) باله، (ج) استخوان، (د) پوست، (ه) عضله، و (کبد) (حروف متفاوت نشان‌دهنده وجود اختلاف معنی‌دار است)

بیشترین میزان میزان جیوه را دارا بود و کمترین میزان جیوه به بافت‌های فلس، باله و پوست اختصاص داشت

بیشترین میزان تجمع جیوه نیز در کبد مشاهده شد (شکل ۴ الف). در خور جعفری بافت کبد

بافت‌های فلس، باله، پوست و استخوان اختصاص داشت (شکل ۴ د). در نهایت، بررسی غلظت جیوه در خور مجیدیه نیز نشان داد که کمترین غلظت این فلز به فلس‌ها و بیشترین آن به کبد تعلق دارد (شکل ۴ ه).

(شکل ۴ ب). در خور پتروشیمی، در میان بافت‌های مورد بررسی اختلاف میان فلس، باله، استخوان و پوست معنی دار نبود و کمترین میزان جیوه را نشان می‌داد و بافت کبد بیشترین تجمع جیوه را دارا بود (شکل ۴ ج). در خور غزاله نیز بیشترین جیوه تجمع بافته در کبد یافته شد و کمترین غلظت به



شکل ۴. میانگین (\pm SD) تجمع بافتی جیوه در هر یک از خوریات مورد مطالعه در منطقه خور موسی (الف) زنگی، (ب) جعفری، (ج) پتروشیمی، (د) مجیدیه، (ه) غزاله (حروف متفاوت نشان‌دهنده وجود اختلاف معنادار است)

۴. بحث و نتیجه‌گیری

۱۰. غلظت جیوه در خوریات

نتایج بررسی غلظت جیوه در بافت‌های ماهیان نشان داد که الگوی پراکنش جیوه در خورهای مورد مطالعه به صورت مجیدیه \approx غزاله \approx پتروشیمی \approx جعفری \approx زنگی، است. تشابه میان غلظت جیوه یافتشده در ماهیان خورهای مجیدیه و غزاله همچنین، پتروشیمی و جعفری را می‌توان ناشی از نزدیکی این خورها به یکدیگر دانست، اما با درنظرگرفتن واحد کلرآلکالی پتروشیمی کیمیا بهمنزله منبع اصلی نشر جیوه در خور موسی انتظار می‌رفت بیشترین غلظت در خور پتروشیمی مشاهده شود؛ با وجود این، مقادیر یافتشده در خورهای مجیدیه و غزاله بیشترین مقدار را به خود اختصاص می‌داد. یکی از دلایل بالابودن غلظت جیوه در خورهای مجیدیه و غزاله را می‌توان به قرارگیری موقعیت این دو خور در بخش انتهایی خور موسی و تبادلات کمتر با آب‌های آزاد نسبت داد. در ضمن از آن‌جا که عمدۀ جریانات آبی خور موسی تحت تأثیر نوسانات جزر و مدی در خلیج فارس و شکل هندسی این خور است (Sabbagh-Yazdi & Sadeghi-Gooya, 2010) جریانات جزر و مدی در این منطقه می‌تواند آب و مواد آلاینده را به سمت خورهای انتهایی جابه‌جا کند. دلیل دیگر بالاتربودن غلظت جیوه در خورهای مجیدیه و غزاله را می‌توان وجود اسکله صادرات نفت در خور مجیدیه و تردد وسائل حمل و نقل دریایی و ریزش‌های نفتی حاصل از آن بهمنزله منبع دیگری برای ورود جیوه به این خور بیان کرد، زیرا نفت خام و گاز طبیعی به طور معمول حاوی ۰/۵ نانوگرم بر گرم تا ۱۰ میکروگرم بر گرم جیوه‌اند (Liang et al., 2000; Wilhelm & Bloom, 2000; Stathopoulou

۲.۰.۴. شاخص عضله: کبد

میزان غلظت جیوه عضله نسبت به مقادیر تجمع یافته در کبد (عضله: کبد) شاخص مورد اطمینانی برای تعیین میزان آلودگی محیط به جیوه است. اگر میزان شاخص در محدوده ۰/۵ - ۰/۰ باشد، حاکی از شرایط ثابت محیطی است و اگر مقدار آن در محدوده ۱/۴ به دست آید، نشان‌دهنده رو به بهبودبودن محیط خواهد بود (Koli et al., 1977). مقدار عددی شاخص عضله به کبد در خورهای زنگی، جعفری، پتروشیمی، غزاله و مجیدیه به ترتیب ۰/۴۱، ۰/۱۳، ۰/۱۴، ۰/۱۵ و ۰/۱۲ به دست آمد که نشان می‌دهد وضعیت خوریات مورد مطالعه نه تنها رو بهبود نیست، بلکه فقط خور زنگی به شرایط ثابت محیطی نزدیک است.

۳.۰.۴. تجمع زیستی جیوه در بافت‌های مختلف ماهی

نتایج بررسی غلظت جیوه در ماهیان شانک زرد باله صیدشده از خوریات موسی نشان داد که بافت‌های

بالاتر آن در بافت‌های کبد و عضله یافت می‌شود (Koli *et al.*, 1977).

بافت‌های کبد و عضله همواره به منزله دو بافت هدف اصلی برای تجمع جیوه مطرح بوده‌اند. البته با وجود تجمع بالای جیوه در این دو بافت، مشاهده می‌شود که در برخی از گونه‌های مورد بررسی کبد دارای بیشترین میزان جیوه بوده (Assar, 2009; Haghigheh, 2009; Agah *et al.*, 2010; Guilherme *et al.*, 2010) و در برخی دیگر بافت عضله بیشترین تجمع جیوه را به خود اختصاص می‌دهد (Burger & Gochfeld, 2007; Hajeb *et al.*, 2009; Coelho *et al.*, 2010).

برخی محققان معتقدند که نحوه پراکنش جیوه در بافت‌های ماهی تحت تأثیر شدت آلودگی است و در اکوسیستم‌های کمتر آلوده و مناطق آلوده متفاوت است (Abreu *et al.*, 2000; Berg *et al.*, 2000). به منظور بررسی این مسئله Havelková و همکاران (۲۰۰۸) طی ۱۱۱۷ سال قطعه ماهی صیدشده از ۱۳ ایستگاه در رودخانه البه (کشور چک) را مطالعه کردند و از نسبت میان مقدار جیوه تجمع یافته در کبد به عضله به منزله شاخص استفاده کردند. نتایج مطالعه این محققان نشان داد که در ایستگاه‌های آلوده‌تر نسبت جیوه کبد به عضله افزایش می‌یابد. به عبارتی در محیط‌هایی با آلودگی بالا، تجمع جیوه در بافت کبد بیشتر است و بافت هدف برای این مناطق، کبد است. در حالی که در مناطقی با آلودگی کم، تجمع جیوه در عضله بیشتر است و بافت هدف، عضله خواهد بود.

در مطالعه حاضر غلظت جیوه تجمع یافته در کبد بیشتر از عضله به دست آمد و با افزایش بار آلودگی از سمت خور زنگی به سمت خور مجیدیه نیز تفاصل میان میزان جیوه تجمع یافته در بافت‌های

گوناگون مقادیر مختلفی از جیوه را در خود ذخیره می‌کنند و الگوی تجمع جیوه در بافت‌های این ماهی به شکل کبد > عضله > پوست ≈ استخوان ≈ باله ≈ فلس است.

بافت کبد به دلیل فعالیت سمیت‌زادایی، عموماً مقادیر بالایی از جیوه را تجمع می‌دهد (Kasper *et al.*, 2009; Mieiro *et al.*, 2009; Hosseinkhezri & Tashkhourian, 2011) بافت عضله نیز به علت دارابودن پروتئین‌های غنی از سیستئین و متیونین، و تمایل زیاد جیوه به گروه‌های سولفیدریل آن‌ها، می‌تواند از بافت‌های هدف اصلی برای جیوه محسوب شود (Boening, 2000; USEPA, 2001; Jahed Khaniki *et al.*, 2005; Havelková *et al.*, 2008). تجمع جیوه در عضله به منزله مکانیسمی حفاظتی در ماهی نیز مطرح است، زیرا توقف جیوه در بافت عضله مواجهه سیستم عصبی مرکزی را به این فلز کاهش می‌دهد (Wiener *et al.*, 2003).

اتصال جیوه به گروه‌های سولفیدریل، منجر به تشکیل کمپلکس‌هایی محلول در آب می‌شود که می‌توانند به راحتی در فاز آبی سلول جابه‌جا شوند (Clarkson, 2002; Kasper *et al.*, 2009) شاید بتوان اظهار کرد که بالابودن مقدار آب بافت‌های کبد و عضله می‌تواند نقش مهمی در افزایش غلظت جیوه این بافت‌ها داشته باشد. الگوی پراکنش جیوه در بافت‌های مورد بررسی در پژوهش حاضر نیز با محتوای آب بافت‌ها همخوانی دارد.

علاوه بر این، از آن‌جا که سیستم گردش خون مسئول توزیع جیوه در بدن است (Wang and Wong, 2003; Havelková *et al.*, 2008; Kasper *et al.*, 2009)، بافت‌های دارای رگ‌های خونی فراوان جیوه بیشتری نسبت به سایر بافت‌ها دارند. به همین دلیل، تجمع جیوه در بافت‌هایی مانند فلس، باله، پوست و استخوان نسبتاً کم است، در حالی که مقادیر

2009) و نوع بافت یا اندام مورد بررسی (خصوصیات بیوشیمیایی، نوع عملکرد، میزان توانایی تجمع و دفع) (Chattopadhyay *et al.*, 2002) می‌توانند بر توزیع جیوه و غلظت آن در بافت‌های مختلف ماهیان اثرگذار باشند. برای مثال در ماهی *Eleginus gracilis* مقدار تجمع جیوه در عضله *Clupea pallasi pallasi* بیشتر از کبد بود و در گونه *Kovekovdova & Simokon*, 2002 با مطالعه بافت‌های مختلف ماهی سفید رودخانه‌ای (*Leuciscus cephalus*) صیدشده از چهار رودخانه موراوی در چک، گوئی توزیع جیوه بافتی را در این منطقه به شکل عضله < کبد > پوست گزارش کردند. این شیوه پراکنش بافتی در مطالعه *Pethybridge* و همکاران (2010) نیز طی بررسی ۱۶ گونه کوسه‌ماهی صیدشده از آبهای قاره‌ای استرالیا مشاهده شد. در مطالعه *Storelli* و همکاران (1998) درباره گربه کوسه (*Galeus melastomus*) در سواحل دریای آدریاتیک و نیز پژوهش *Kusemiju* و *Osibona* (2006) درباره کوسه سر چکشی باله سفید (Sphyrna couardi) در سواحل نیجریه نحوه توزیع بافتی جیوه به صورت عضله - پوست < کبد یافت شد.

کبد و عضله بیشتر شد، به طوری که غلظت جیوه در کبد ماهیان صیدشده از خور زنگی ۲/۵ برابر عضله بوده و در خور مجیدیه به دلیل آلدگی بیشتر به ۸/۵ برابر رسیده است.

درباره سایر بافت‌ها نیز، یگانه مطالعه‌ای که تمامی بافت‌های مورد بررسی در پژوهش حاضر را پوشش می‌دهد، تحقیقات *Koli* و همکاران (۱۹۷۷) درباره دو گونه اردک ماهی و لجن ماهی است که با گوئی توزیع بافتی مطالعه حاضر مطابقت دارد. نتایج بررسی توزیع جیوه در بافت‌های کبد، عضله، پوست *Simokon* و *Kovekovdova* (2002) در دریای ژاپن نیز در گونه *Liopsetta pinnifasciata* با نتایج پژوهش حاضر همخوانی دارد. با وجود این، می‌بایست یادآور شد که عوامل مختلفی از قبیل فرم شیمیایی (جیوه معدنی یا آلی) (Régine *et al.*, 2006; Kasper *et al.*, 2009), *Kovekovdova & Simokon*, 2002 غلظت جیوه (Qian *et al.*, 2001) (Pickhardt *et al.*, 2006) نحوه مواجهه با جیوه (رزیم غذایی یا محلول در آب) دسترسی زیستی جیوه (شوری، دما، pH و سختی آب) (Osibona & Kusemiju, 2006)، خصوصیات گونه (رزیم غذایی، اندازه، سن، جنسیت، فیزیولوژی و توانایی تنظیمی) (Régine *et al.*, 2006; Kasper

References

- [1]. Abreu, S.N., Pereira, E., Vale, C., Duarte, A.C., 2000. Accumulation of mercury in sea bass from a contaminated lagoon (Ria de Aveiro, Portugal). *Marine Pollution Bulletin* 40, 293-297.
- [2]. Agah, H., Elskens, M., Fatemi, S.M.R., Owfi, F., Baeyens, W., Leermakers, M., 2009. Mercury speciation in the Persian Gulf sediments. *Environmental Monitoring and Assessment* 157, 363-373.
- [3]. Agah, H., Leermakers, M., Gao, Y., Fatemi, S.M.R., Mohseni Katal, M., Baeyens, W., Elskens, M., 2010. Mercury accumulation in fish species from the Persian Gulf and in human hair from fishermen. *Environmental Monitoring and Assessment* 169, 203-216.
- [4]. Arribére, M.A., Ribeiro Guevara, S., Sanchez, R.S., Gil, M.I., Román Ross, G., Daurade, L.E., Fajon, V., Horvat, M., Alcalde, R., Kestelman, A.J., 2003. Heavy metals in the vicinity of a chlor-alkali factory in the upper Negro River ecosystem, Northern Patagonia, Argentina. *Science of Total Environment* 301, 187-203.
- [5]. Assar, M., 2009. bioaccumulation of mercury and methylmercury in *Pennahia macrophthalmus* from Musa Estuary. M.SC thesis. Khorramshahr University of Marine Science and Technology, 97p. (in Persian)
- [6]. Berg, V., Ugland, K.I., Hareide, N.R., Groenning, D., Skaare, J.U., 2000. Mercury, cadmium, lead, and selenium in fish from a Norwegian fjord and off the coast, the importance of sampling locality. *Journal of Environmental Monitoring* 2, 375-377.
- [7]. Boening, D.W., 2000. Ecological effects, transport, and fate of mercury: A general review. *Chemosphere* 40, 1335-1351.
- [8]. Braeckman, B., Cornelis, R., Rzeznik, U., Raes, H., 1998. Uptake of HgCl₂ and MeHgCl in an insect cell line (*Aedes albopictus* C6/36). *Environmental Research* 79(1), 33-40.
- [9]. Burger, J., Gaines, K.F., Boring, C.S., Stephens, W.L., Snodgrass, J., Dixon, C., McMahon, M., Shukla, S., Shukla, T., Gochfeld, M., 2002. Metal levels in fish from the Savannah River: Potential hazards to fish and other receptors. *Environmental Research* 89, 85-97.
- [10]. Burger, J., Gochfeld, M., 2007. Risk to consumers from mercury in Pacific cod (*Gadus macrocephalus*) from the Aleutians: Fish age and size effects. *Environmental Research* 105, 276-284.
- [11]. Chattopadhyay, B., Chatterjee, A., Mukhopadhyay, S.K., 2002. Bioaccumulation of metals in the East Calcutta wetland ecosystem. *Aquatic Ecosystem Health and Management* 5, 191-203.
- [12]. Cid, B.P., Boia, C., Pombo, L., Rebelo, E., 2001. Determination of trace metals in fish species of the Ria de Aveiro (Portugal) by electro thermal atomic absorption spectrometry. *Food Chemistry* 75(1), 93-100.
- [13]. Clarkson, T.W., 2002. The three modern faces of mercury. *Environmental Health Perspectives* 10(1), 11-23.
- [14]. Coelho, J.P., Santos, H., Reis, A.T., Falcão, J., Rodrigues, E.T., Pereira, M.E., Duarte, A.C., Pardal, M.A., 2010. Mercury bioaccumulation in the spotted dogfish (*Scyliorhinus canicula*) from the Atlantic Ocean. *Marine Pollution Bulletin* 60, 1372-1375.
- [15]. De Pinho, A.P., Guimaraes, J.R.D., Martins, A.S., Costa, P.A.S., Olavo, G., Valentin, J., 2002. Total mercury in muscle tissue of five shark species from Brazilian offshore waters: effects of feeding habit, sex, and length. *Environmental Research* 89, 250-258.
- [16]. Dehghan Madiseh, S., Savary, A., Parham, H., Sabzalizadeh, S., 2009. Determination of the level of contamination in Khuzestan coastal waters (Northern Persian Gulf) by using an ecological risk index. *Environmental Monitoring and Assessment* 159, 521-530.
- [17]. Guilherme, S., Pereira, M.E., Santos, M.A., Pacheco, M., 2010. Mercury distribution in key tissues of Caged Fish (*Liza aurata*) along an environmental mercury contamination gradient. *Interdisciplinary Studies on Environmental Chemistry* 3, 165-173.
- [18]. Haghigat, M., 2009. Mercury bioaccumulation in *Euryglossa orientalis* from Musa Estuary. M.SC thesis. Khorramshahr University of Marine Science and Technology, 90p. (in Persian)
- [19]. Hajeb, P., Jinap, S., Ismail, A., Fatimah, A.B., Jamilah, B., Abdul Rahim, M., 2009. Assessment of mercury level in commonly consumed marine fishes in Malaysia. *Food Control* 20, 79-84.
- [20]. Havelková, M., Dušek, L., Némethová, D., Poleszczuk, G. and Svobodová, Z., 2008. Comparison of mercury distribution between liver and muscle- a biomonitoring of fish from lightly and heavily contaminated localities. *Sensors* 8, 4095-4109.

- [21]. Hosseinkhezri, P., Tashkhourian, J., 2011. Determination of heavy metals in *Acanthopagrus latus* (Yellowfin seabream) from the Bushehr seaport (coastal of Persian Gulf), Iran. International Food Research Journal 18, 766-769.
- [22]. Houserova, P., Kuban, V., Spurny, P., Habarta, P., 2006. Determination of total mercury and mercury species in fish and aquatic ecosystems of Moravian rivers. Veterinarni Medicina 51(3), 101-110.
- [23]. Jahed Khaniki, G.R., Alli, I., Nowroozi, E., Nabizadeh, R., 2005. Mercury contamination in fish and public health aspects: a review. Pakistan Journal of Nutrition 4(5), 276-281.
- [24]. Karadede-Akin, H., Ünlü, E., 2007. Heavy metal concentrations in water, sediment, fish and some benthic organisms from Tigris River, Turkey. Environmental Monitoring and Assessmen, 131, 323-337.
- [25]. Kasper, D., Palermo, E.F.A., Iozzi Dias, A.C.M., Ferreira, G.L., Leitão, R.P., Branco, C.W.C., Malm, O., 2009. Mercury distribution in different tissues and trophic levels of fish from a tropical reservoir, Brazil. Neotropical Ichthyology 7(4),751-758.
- [26]. Koli, A.K., Williams, W.R., McClary, E.B., Wright, E.L., Burrell, T.M., 1977. Mercury levels in freshwater fish of the state of South Carolina. Bulletin of Environmental Contamination and Toxicology 17, 82-89.
- [27]. Kovekovdova, L.T., Simokon, M.V., 2002. Heavy metals in the tissues of commercially important fish of Amurskii Bay, Sea of Japan. Russian Journal of Marine Biology 28(2), 113-119.
- [28]. Laarman, P.W., Willford, W.A., Olsen, J.R. 1975. Retention of mercury in the muscle of yellow perch (*Perca flavescens*) and rock bass (*Ambloplites rupestris*). Transactions of the American Fisheries Society 105, 296-300.
- [29]. Liang, L., Lazoff, S., Horvat, M., Swain, E., Gilkeson, J., 2000. Determination of mercury in crude oil by in-situ thermal decomposition using a simple lab built system. Fresenius Journal of Analytical Chemistry 367, 8-11.
- [30]. Mason, R.P., Reinfelder, J.R., Morel, F.M.M., 1995. Bioaccumulation of mercury and methylmercury. Water Air and Soil Pollution 80, 915-921.
- [31]. Mieiro, C.L., Pacheco, M., Pereiraa, M.E., Duarte, A.C., 2009. Mercury distribution in key tissues of fish (*Liza aurata*) inhabiting a contaminated estuary-implications for human and ecosystem health risk assessment. Journal of Environmental Monitoring 11, 1004–1012.
- [32]. MOOPAM, 1999. Manual of Oceanographic Observations and Pollutant Analyses Methods. Regional Organization for the Protection of the Marine environment, Kuwait.
- [33]. Osibona, A.O. and Kusemiju, K., 2006. Distribution of Mercury in Tissues of the Hammerhead Shark *Sphryna couardi* from Off Lagos Coast, Nigeria. Journal of Scientific Research and Development 10, 39-50.
- [34]. Pethybridge, H., Cossa, D., Butler, E.C.V., 2010. Mercury in 16 demersal sharks from southeast Australia: Biotic and abiotic sources of variation and consumer health implications. Marine Environmental Research 69, 18-26.
- [35]. Pickhardt, P.C., Stepanova, M., Fisher, N.S., 2006. contrasting uptake routes and tissue distributions of inorganic and methylmercury in Mosquitofish (*Gambusia affinis*) and Redear Sunfish (*Lepomis microlophus*). Environmental Toxicology and Chemistry 25(8), 2132-2142.
- [36]. Qian, S.S., Warren-Hicks, W., Ketaing, J., Moore, D.R.J. and Teed, R.S., 2001. A predictive model of mercury fish tissue concentrations for the southeastern United States. Environmental Science and Technology 35, 941-947.
- [37]. Régine, M.B., Gilles, D., Yannick, D., Alain, B., 2006. Mercury distribution in fish organs and food regimes: Significant relationships from twelve species collected in French Guiana (Amazonian basin). Science of the Total Environment 368, 262-270.
- [38]. Sabbagh-Yazdi, S.R., Sadeghi-Gooya, A., 2010. Modeling Khour-e Musa Multi-Branch Estuary Currents due to the Persian Gulf Tides Using NASIR Depth Average Flow Solver. Journal of the Persian Gulf (Marine Science) 1(1), 45-50.
- [39]. Stathopoulou, E., Dassenakis, M., Scoullos, M., 2001. Levels of mercury concentration in sediments of Saronicos Gulf. 7th International Conference on Environmental Science and Technology Ermoupolis, Greece, 7pp.
- [40]. Storelli, M.M., Ceci, E., Marcotrigiano, G.O., 1998. Comparative study of heavy metal residues in some tissues of the fish *Galeus melastomus* caught along the Italian and Albanian coasts. Rapp. Comm. Int. Mer Médit. 35 288-289.

- [41]. Tawari-Fufeyin, P., Ekaye, S. A. 2007. Fish species diversity as indicator of pollution in Ikpoba river, Benin City, Nigeria. *Reviews in Fish Biology and Fisheries* 17, 21-30.
- [42]. Ullrich, S.M., Tanton, T.W., Abrdashitova, S.A., 2001. Mercury in aquatic environment: A review of factors affecting methylation. *Environmental Science and Technology* 31, 241-293.
- [43]. USEPA, 2001. Mercury update: Impact on fish advisories. *United States Environmental Protection Agency*, 10pp.
- [44]. Wang, W.X., Wong, R.S.K., 2003. Bioaccumulation kinetics and exposure pathways of inorganic mercury and methylmercury in a marine fish, the sweetlips *Plectorhinchus gibbosus*. *Marine Ecology Progress Series* 261, 257-268.
- [45]. WHO. 1990. World Health Organization. *Environmental Health Criteria No. 101. Methylmercury*. Geneva, Switzerland.
- [46]. Wilhelm, S.M., Bloom, N., 2000. Mercury in Petroleum. *Fuel Processing Technology* 63, 1-27.
- [47]. Zhou, Q., Zhang, J., Fu, J., Jiang, G., 2008. Biomonitoring: An appealing tool for assessment of metal pollution in the aquatic ecosystem. *analytica chimica acta* 606, 135-150.